

Reaktionen der Dicyanessigsäureester mit Alkoholen, Thiolen und Halogenwasserstoffsäuren

Richard Neidlein* und Danijel Kikelj¹⁾ **)

Pharmazeutisch-Chemisches Institut der Universität Heidelberg,
Im Neuenheimer Feld 364, 6900 Heidelberg

Eingegangen am 8. April 1988

Dicyanessigsäureester **1** oder deren Alkalosalze **1a** reagieren mit überschüssigen Halogenwasserstoffsäuren zu den 3-Amino-3-halogen-2-cyanacrylsäureestern **2**. Bei der Reaktion von **1** mit Alkoholen unter Rückfluß werden 3-Alkoxy-3-amino-2-cyanacrylsäureester **3a–c** und **4a** gebildet. Mit Thiolen entstehen die entsprechenden 3-(Alkyl-/Arylthio)-3-amino-2-cyanacrylsäureester **3j–k** und 3-(Alkyl-/Arylthio)-3-amino-2-cyanothioacrylsäure-S-alkyl/arylester **4b, c**. **2**, **3** und **4** weisen eine Enaminstruktur mit *cis*-ständiger Amino- und Estergruppe auf.

Reactions of Dicyanoacetic Acid Esters with Alcohols, Thiols, and Hydrohalogenic Acids

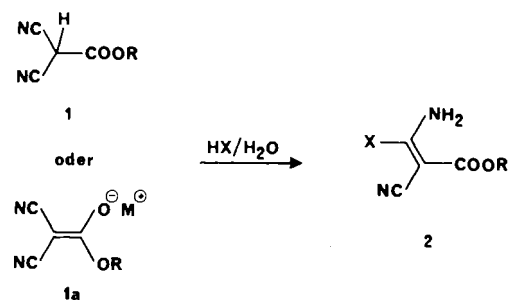
Dicyanoacetic acid esters **1** or their alkali salts **1a** react with hydrohalogenic acids to yield the 3-amino-3-halogen-2-cyanoacrylates **2**. The reactions of **1** with alcohols at reflux temperatures lead to the formation of the 3-alkoxy-3-amino-2-cyanoacrylates **3a–c** and **4a**. With thiols the corresponding 3-(alkyl/arylthio)-3-amino-2-cyanoacrylates **3j–k** and S-alkyl/aryl 3-(alkyl/arylthio)-3-amino-2-cyanothioacrylates **4b, c** are obtained. **2**, **3**, and **4** possess an enamine structure with *cis* orientation of the amino and ester groups.

Dicyanessigsäureester **1** sind eine leicht zugängliche Verbindungsklasse, die aber trotz ihrer einfachen Struktur bisher kaum untersucht wurde. Zur Herstellung der Alkalosalze von **1**, aus denen durch Ansäuern die freien Dicyanessigsäureester freigesetzt werden können, eignen sich die folgenden Methoden: Umsetzung der Malononitrilsalze mit Chlorameisensäureestern^{2–8)} oder mit Cyanameisensäureestern^{9–11)} sowie Umsetzung der Cyanessigsäureester-Salze mit Cyansäurearylestern^{12–14)}. In der Literatur findet man nur spärliche Hinweise^{2–4, 14–16)} auf die chemischen Reaktivitäten dieser Substanzklasse, die jedoch ein beachtliches synthetisches Potential besitzen sollte. Im folgenden wird über die Reaktionen der Dicyanessigsäureester mit Alkoholen, Thiolen und Halogenwasserstoffsäuren berichtet.

Reaktionen der Dicyanessigsäureester **1** mit Halogenwasserstoffsäuren

Werden Dicyanessigsäureester **1** oder ihre Alkalosalze **1a** in überschüssigen Halogenwasserstoffsäuren gelöst, so erhält man in hohen Ausbeuten durch glatte Reaktion bei Raumtemperatur 3-Amino-3-halogen-2-cyanacrylsäureester **2a–k** (Tab. 1). Die Addition von HX findet immer nur an einer Cyanogruppe statt; auch bei längeren Reaktionszeiten wurde keine Addition des zweiten Moleküls HX beobachtet. Es ist merkwürdig, daß in keinem Fall die entsprechenden Salze isoliert wurden. Auch aus konzentrierten Halogenwasserstoffsäuren fallen die Ester **2** in nichtprotonierter Form an. Die Tatsache, daß dieselben Reaktionsprodukte sowohl aus freien Dicyanessigsäureestern als auch aus deren Alkalosalzen mit überschüssigen Halogenwasserstoffsäuren erhalten werden, verkürzt den Weg zu den Ausgangsstoffen und macht die Reaktion durch Verwendung ihrer

Alkalosalze auch auf instabile Dicyanessigsäureester anwendbar.



Tab. 1. Aus Alkalosalzen **1a** der Dicyanessigsäureester synthetisierte 3-Amino-3-halogen-2-cyanacrylsäureester **2**

Verbindung	X	R	Schmp. [°C]	% Ausb.
2a	Cl	Methyl	180	84
2b	Cl	Ethyl	169	78
2c	Cl	Phenyl	181	64
2d	Cl	4-Nitrophenyl	176	74
2e	Cl	2,2,2-Trichlorethyl	169	90
2f	Cl	Benzyl	139	91
2g	Br	Methyl	170	76
2h	Br	Ethyl	153	79
2i	Br	2,2,2-Trichlorethyl	173	75
2j	I	Methyl	167	76
2k	I	Ethyl	170	85

Die Verbindung **2b** wurde bereits von Middleton et al.¹⁵⁾ durch Reaktion von Dicyanketen-diethylacetal mit Chlorwasserstoff erhalten. Dem Umsetzungsprodukt wurde jedoch die Imidchloridform zugeschrieben, die sich später als falsch erwiesen hat. Allenstein et al.¹⁶⁾ haben IR-spektro-

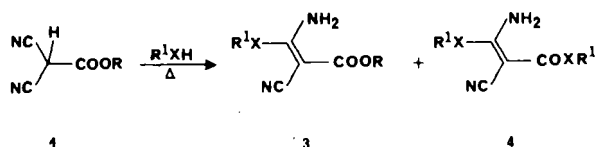
*¹⁾ Neue Anschrift: Univerza E. Kardelj Ljubljana, VTOZD Farmacija, Aškerčeva 9, YU-6100 Ljubljana, Jugoslawien

skopisch nachgewiesen, daß sich bei der Reaktion zwischen Dicyanketen-diethylacetal und Chlorwasserstoff 3-Amino-3-chloracrylsäure-ethylester gebildet hat. Das sind bislang die einzigen Veröffentlichungen über 3-Amino-3-halogen-2-cyanacrylsäureester.

Reaktionen der Dicyanessigsäureester 1 mit Alkoholen und Thiolen

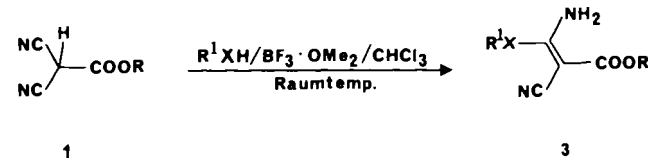
Die Addition von Alkoholen an Dicyanessigsäureester erfolgte durch Erhitzen unter Rückfluß in überschüssigen Alkoholen ohne Säure- oder Base-Zugabe. Neben 3-Alkoxy-3-amino-2-cyanacrylsäureestern **3a–c** wurde im Fall der unterschiedlichen Alkoholreste R und R' (Tab. 2) auch das Produkt der Umesterung **4a** isoliert. Die Reaktionen von **1** mit Thiolen verliefen unter gleichen Bedingungen jedoch langsamer und führten zu den 3-(Butylthio)- und 3-(Phenylthio)-3-amino-2-cyanacrylsäureestern **3j, k** bzw. 3-(Alkylthio)- und 3-(Phenylthio)-3-amino-2-cyanthioacrylsäure-S-estern **4b–c**. Die Auftrennung der Reaktionsprodukte erfolgte in allen Fällen säulenchromatographisch.

Unter Bortrifluorid-Dimethylether-Katalyse in Chloroform erfolgten die Additionsreaktionen von Alkoholen



Tab. 2. Reaktionen von Dicyanessigsäureestern **1** mit Alkoholen und Thiolen

R	R'	X	Rück- fluß [h]	Verb.	% Ausb.	Verb.	% Ausb.
Me	Me	O	2	3a	75	—	—
Et	Et	O	2	3b	74	—	—
Me	nBu	O	5	3c	24	4a	17
Me	nBu	S	5	3j	23	4b	30
Me	Ph	S	12	3k	17	4c	10



Tab. 3. Reaktionen von Dicyanessigsäureestern **1** mit Alkoholen und Thiolen unter Bortrifluorid-Dimethylether-Katalyse

Verbin- dung No.	R	R'	X	Schmp. [°C]	% Ausb.
3a	Me	Me	O	211	83
3d	Me	Et	O	169	82
3e	Et	Me	O	208	89
3f	Me	Ph	O	116	50
3g	CH ₂ Ph	Me	O	158	80
3h	Me	[CH ₂] ₂ Cl	O	137	63
3l	Me	Et	S	153	33

und Thiolen an **1** unter Bildung von **3** mit guten Ausbeuten schon bei Raumtemperatur. Die Umesterung blieb unter diesen Reaktionsbedingungen aus (Tab. 3).

Ähnliche Produkte wurden bereits von Grigat et al.¹⁴⁾ sowie von Martin et al.¹⁷⁾ durch Umsetzungen von Cyanessigsäureestern mit Cyansäureestern erhalten. Martin und Mitarbeiter, die auf diese Weise auch ein der Verbindung **3b** identisches Produkt erhielten, schlugen aufgrund der NMR- und IR-Spektren für diese Verbindungen die Aminoethylenstruktur vor.

Spektroskopische Eigenschaften der Verbindungen **2**, **3**, und **4**

Die IR-Spektren der Additionsprodukte **2** stimmen mit dem von Allenstein et al.¹⁶⁾ diskutierten IR-Spektrum von **2b** gut überein. Ebenso entsprechen die IR-Daten der Alkoholaddukte **3a–h** und **4a** den Angaben von Martin et al.¹⁷⁾. Charakteristisch für die Verbindungen **2–4** ist das Auftreten von zwei intensiven Absorptionsbanden zwischen 3160 und 3400 cm⁻¹ und einer nach niederen Wellenzahlen verschobenen Nitril-Bande (2200–2210 cm⁻¹). Im Bereich zwischen 1500 und 1800 cm⁻¹ weisen die HX-Addukte **2** und die Alkoholaddukte **3a–h** sowie **4a** drei intensive Banden (1495–1520, 1610–1645 und 1660–1695 cm⁻¹) auf. Die Thiol-Addukte **3j, k** und **l** zeigen in diesem Bereich nur zwei Absorptionsbanden bei 1610 und 1690 cm⁻¹, die durch Umesterung entstandenen Thiol-Addukte **4b** und **4c** sogar nur eine bei 1590 cm⁻¹.

Typisch für die ¹H-NMR-Spektren der Verbindungen **2**, **3** und **4** ist das Vorkommen der zwei getrennten Signale von beiden Aminoprotonen. Durch eingehende NMR-Untersuchungen [¹H(¹H)-NOE-Differenzspektroskopie, ¹³C(¹H)-NOE-Differenzspektroskopie, ¹⁵N-NMR-Spektroskopie, temperaturabhängige NMR-Spektren], über die an anderer Stelle ausführlich berichtet wird¹⁸⁾, wurde festgestellt, daß in den ¹H-NMR-Spektren die beiden zwischen 6 und 10 ppm liegenden breiten Signale tatsächlich von den Wasserstoffen am Stickstoffatom der Aminogruppe verursacht sind. Ebenso zeigten die NMR-Untersuchungen die *cis*-Anordnung der Amino- und Estergruppe, die durch eine Wasserstoff-Brückenbindung zwischen dem Carboxylsauerstoffatom und einem Wasserstoffatom der Aminogruppe stabilisiert wird.

Wir danken der BASF Aktiengesellschaft, dem Verband der Chemischen Industrie – Fonds der Chemie, der Volkswagenstiftung sowie der Deutschen Forschungsgemeinschaft für besondere Unterstützung unserer Untersuchungen, den Herren Dr. W. Kramer, G. Beutel sowie Frau G. Baumann für die ¹H- und ¹³C-NMR-Spektren, den Herren H. Rudy, P. Weyrich und G. Beutel für Massenspektren und Elementaranalysen, der Bayer AG und der Hoechst AG für die Lieferung von Chemikalien. D. K. dankt dem Deutschen Akademischen Austauschdienst für ein Stipendium.

Experimenteller Teil

Schmelzpunkte (nicht korrigiert): Schmelzpunkt mikroskop der Fa. Reichert, Wien. – IR-Spektren: Perkin-Elmer-Gerät 325. – UV/VIS-Spektren: DMR 4 der Fa. Carl Zeiss, Oberkochen. – ¹H- und ¹³C-NMR-Spektren: HX-90 E (90 MHz, ¹H-NMR) und WM 250

(250 MHz für ^1H und 62.89 MHz für ^{13}C) der Fa. Bruker, Karlsruhe. — Massenspektren: MAT 311 A und MAT 44 der Fa. Varian, Bremen. — Elementaranalysen: Automatischer C,H,N-Analysator der Fa. Heraeus, Hanau. — Die Lösungsmittel und Reagenzien wurden nach den üblichen Methoden getrocknet und gereinigt.

3-Amino-3-chlor-2-cyanacrylsäure-methylester (2a): Eine Suspension von 4.86 g (30 mmol) Kaliumsalz des Dicyanessigsäure-methylesters in 20 ml Wasser wird mit 40 ml wässriger 37proz. Chlorwasserstoffsäure versetzt. Die Ausgangsstoffsubstanz geht allmählich in Lösung, und nach 5–10 min scheidet sich das Produkt in Form farbloser Kristalle ab. Nach 10 h bei Raumtemp. wird es abgesaugt, mit Wasser gewaschen, getrocknet und aus Chloroform umkristallisiert: 4.05 g (84%) farblose **2a**, Schmp. 180°C. — IR (KBr): 3320 cm $^{-1}$, 3165, 3120 (NH₂), 2230 (CN), 1695 (CO). — $^1\text{H-NMR}$ (CDCl₃): δ = 4.86 (s, 2 H, CH₂); 6.37 (s, 1 H, NH); 9.24 (s, 1 H, NH). — $^{13}\text{C-NMR}$ ([D₆]Aceton): δ = 73.8 (s, C-2); 74.3 (t, CH₂); 96.0 (s, CCl₃); 115.6 (s, CN); 161.8 (s, C-3), 165.3 (s, C-1). — UV (CH₃CN): λ_{\max} (lg ϵ) = 235 nm sh (3.637), 275 (4.126). — MS (100 eV, 60°C): m/z (%) = 162 (10), 160 (M $^+$, 29), 129 ([M – OCH₃] $^+$, 57), 59 (100).

$\text{C}_5\text{H}_7\text{ClN}_2\text{O}_2$ (160.6) Ber. C 37.40 H 3.14 N 17.45
Gef. C 37.60 H 3.04 N 17.70

3-Amino-3-chlor-2-cyanacrylsäure-ethylester (2b): Aus 5.29 g (30 mmol) Kaliumsalz des Dicyanessigsäure-ethylesters in 20 ml Wasser und 40 ml wässriger 37proz. Chlorwasserstoffsäure in Analogie zu **2a**; 4.07 g (78%) **2b**, farblose Kristalle (aus Chloroform), Schmp. 169°C (Lit.¹³ 169–170°C). — IR (KBr): 3310 cm $^{-1}$, 3260, 3180 (NH₂), 2220 (CN), 1685 (CO). — $^1\text{H-NMR}$ (CDCl₃): δ = 1.36 (t, 3 H, CH₃); 4.28 (q, 2 H, CH₂); 6.16 (s, 1 H, NH); 9.38 (s, 1 H, NH). — $^{13}\text{C-NMR}$ (CD₃CN): δ = 14.9 (q, CH₃); 62.2 (t, CH₂); 75.6 (s, C-2); 117.4 (s, CN); 161.0 (s, C-3); 167.4 (s, C-1). — UV (CH₃CN): λ_{\max} (lg ϵ) = 235 nm sh (3.514), 272 (4.167). — MS (100 eV, 60°C): m/z (%) = 176 (20), 174 (M $^+$, 64), 146 (100), 129 ([M – OCH₂CH₃] $^+$, 60).

$\text{C}_6\text{H}_7\text{ClN}_2\text{O}_2$ (174.6) Ber. C 41.28 H 4.04 N 16.05
Gef. C 41.22 H 4.03 N 15.64

3-Amino-3-chlor-2-cyanacrylsäure-phenylester (2c): Aus 2.08 g (10 mmol) Natriumsalz des Dicyanessigsäure-phenylesters in 20 ml Wasser und 40 ml wässriger 37proz. Chlorwasserstoffsäure analog **2a**; 1.42 g (64%) **2c**, farblose Kristalle (aus Chloroform), Schmp. 181°C. — IR (KBr): 3310 cm $^{-1}$, 3250, 3160 (NH₂), 2220 (CN), 1695 (CO). — $^1\text{H-NMR}$ (CDCl₃): δ = 6.24 (s, 1 H, NH); 7.17 (dd, 2 H, H-aromat.); 7.28 (dd, 1 H, H-aromat.); 7.42 (dd, 2 H, H-aromat.); 9.31 (s, 1 H, NH). — $^{13}\text{C-NMR}$ ([D₆]Aceton): δ = 74.4 (s, C-2); 116.3 (s, CN); 122.7, 126.8, 130.2 (d, C-aromat.); 151.4 (s, C-aromat.); 161.5 (s, C-3); 165.6 (s, C-1). — UV (CH₃CN): λ_{\max} (lg ϵ) = 240 nm sh (3.795), 275 (4.221). — MS (100 eV, 110°C): m/z (%) = 224 (7), 222 (M $^+$, 20), 129 (14), 94 (100).

$\text{C}_{10}\text{H}_7\text{ClN}_2\text{O}_2$ (222.6) Ber. C 53.95 H 3.17 N 12.58
Gef. C 53.74 H 3.27 N 12.43

3-Amino-3-chlor-2-cyanacrylsäure-(4-nitrophenyl)ester (2d): Aus 2.53 g (10 mmol) Kaliumsalz des Dicyanessigsäure-4-nitrophenylesters in 20 ml Wasser in 40 ml wässriger 37proz. Chlorwasserstoffsäure analog **2a**; 1.98 g (74%) **2d**, farblose Kristalle (aus Acetonitril), Schmp. 176°C. — IR (KBr): 3280 cm $^{-1}$, 3200 (NH₂), 2230 (CN), 1700 (CO). — $^1\text{H-NMR}$ (CDCl₃): δ = 6.36 (s, 1 H, NH); 7.38 (d, 2 H, H-aromat.); 8.32 (d, 2 H, H-aromat.); 9.23 (s, 1 H, NH). — $^{13}\text{C-NMR}$ ([D₆]Aceton): δ = 74.1 (s, C-2); 116.0 (s, CN); 123.9, 125.9 (d, C-aromat.); 146.5, 156.1 (s, C-aromat.); 162.1 (s, C-3); 164.8 (s, C-1). — UV (CH₃CN): λ_{\max} (lg ϵ) = 240 nm sh (3.878), 282 (4.352). — MS (100 eV, 140°C): m/z (%) = 267 (M $^+$, 3), 131 (31), 129 (100).

$\text{C}_{10}\text{H}_6\text{ClN}_3\text{O}_4$ (267.6) Ber. C 44.88 H 2.26 N 15.70
Gef. C 44.59 H 2.34 N 15.43

3-Amino-3-chlor-2-cyanacrylsäure-(2,2,2-trichlorethyl)ester (2e): Aus 2.80 g (10 mmol) Kaliumsalz des Dicyanessigsäure-(2,2,2-trichlorethyl)esters in 20 ml Wasser und 40 ml wässriger 37proz. Chlorwasserstoffsäure analog **2a**; 2.50 g (90%), **2e**, farblose Kristalle (aus Chloroform), Schmp. 169°C. — IR (KBr): 3320 cm $^{-1}$, 3240, 3175 (NH₂), 2220 (CN), 1695 (CO). — $^1\text{H-NMR}$ (CDCl₃): δ = 4.86 (s, 2 H, CH₂); 6.37 (s, 1 H, NH); 9.24 (s, 1 H, NH). — $^{13}\text{C-NMR}$ ([D₆]Aceton): δ = 73.8 (s, C-2); 74.3 (t, CH₂); 96.0 (s, CCl₃); 115.6 (s, CN); 161.8 (s, C-3), 165.3 (s, C-1). — UV (CH₃CN): λ_{\max} (lg ϵ) = 235 nm sh (3.637), 275 (4.126). — MS (100 eV, 100°C): m/z = 278 (13), 276 (M $^+$, 10), 131 (40), 129 (100).

$\text{C}_6\text{H}_4\text{Cl}_4\text{N}_2\text{O}_2$ (277.9) Ber. C 25.93 H 1.45 N 10.08
Gef. C 25.79 H 1.58 N 9.97

3-Amino-3-chlor-2-cyanacrylsäure-benzylester (2f): Aus 4.44 g (20 mmol) Natriumsalz des Dicyanessigsäure-benzylesters in 40 ml Wasser und 80 ml wässriger 37proz. Chlorwasserstoffsäure in Analogie zu **2a**; 4.31 g (91%) **2f**, farblose Kristalle (aus Chloroform), Schmp. 139°C. — IR (KBr): 3320 cm $^{-1}$, 3150 (NH₂), 2220 (CN), 1685 (CO). — $^1\text{H-NMR}$ (CDCl₃): δ = 5.26 (s, 2 H, CH₂); 6.16 (s, 1 H, NH); 7.30–7.45 (m, 5 H, H-aromat.); 9.31 (s, 1 H, NH). — $^{13}\text{C-NMR}$ (CDCl₃): δ = 66.9 (t, CH₂); 76.1 (s, C-2); 115.6 (s, CN); 127.9, 128.4, 128.6 (d, C-aromat.); 135.3 (s, C-aromat.); 159.8 (s, C-3); 166.2 (s, C-1). — UV (CH₃CN): λ_{\max} (lg ϵ) = 240 nm sh (3.660), 272 (4.157) nm. — MS (100 eV, 120°C): m/z (%) = 238 (6), 236 (M $^+$, 19), 201 ([M – Cl] $^+$, 15), 91 (100).

$\text{C}_{11}\text{H}_9\text{ClN}_2\text{O}_2$ (236.7) Ber. C 55.83 H 3.83 N 11.84
Gef. C 55.82 H 3.89 N 11.74

3-Amino-3-brom-2-cyanacrylsäure-methylester (2g): Zu einer Suspension von 3.24 g (20 mmol) Kaliumsalz des Dicyanessigsäure-methylesters in 10 ml Wasser werden 20 ml 48proz. wässriger Bromwasserstoffsäure gegeben. Die Ausgangsstoffsubstanz löst sich, und nach kurzer Zeit scheiden sich die ersten Kristalle des Produktes aus der klaren Lösung ab. Nach 10 h bei Raumtemp. wird der Niederschlag abgesaugt und mit Wasser gewaschen. Das getrocknete Rohprodukt wird aus Chloroform umkristallisiert: 3.12 g (76%) farbloses **2g**, Schmp. 170°C. — IR (KBr): 3300 cm $^{-1}$, 3160, 3100 (NH₂), 2220 (CN), 1695 (CO). — $^1\text{H-NMR}$ (CDCl₃): δ = 3.82 (s, 3 H, CH₃); 6.24 (s, 1 H, NH); 9.57 (s, 1 H, NH). — $^{13}\text{C-NMR}$ ([D₆]Aceton): δ = 52.3 (q, CH₃); 77.9 (s, C-2); 117.9 (s, CN); 152.0 (s, C-3); 167.3 (s, C-1). — UV (CH₃CN): λ_{\max} (lg ϵ) = 225 nm sh (3.679), 275 (4.112). — MS (100 eV, 80°C): m/z (%) = 206 (12), 204 (M $^+$, 12), 173 ([M – OCH₃] $^+$, 6), 125 (100).

$\text{C}_5\text{H}_5\text{BrN}_2\text{O}_2$ (205.0) Ber. C 29.29 H 2.46 N 13.66
Gef. C 29.24 H 2.48 N 13.38

3-Amino-3-brom-2-cyanacrylsäure-ethylester (2h): Aus 3.52 g (20 mmol) Kaliumsalz des Dicyanessigsäure-ethylesters in 10 ml Wasser und 20 ml wässriger 48proz. Bromwasserstoffsäure in Analogie zu **2g**; 3.44 g (79%) **2h**, farblose Kristalle (aus Chloroform), Schmp. 153°C. — IR (KBr): 3320 cm $^{-1}$, 3240, 3170 (NH₂), 2210 (CN), 1690 (CO). — $^1\text{H-NMR}$ (CDCl₃): δ = 1.34 (t, 3 H, CH₃); 4.27 (q, 2 H, CH₂); 6.34 (s, 1 H, NH); 9.61 (s, 1 H, NH). — $^{13}\text{C-NMR}$ ([D₆]Aceton): δ = 14.5 (q, CH₃); 61.6 (t, CH₂); 78.2 (s, C-2); 117.9 (s, CN); 152.0 (s, C-3); 167.0 (s, C-1). — UV (CH₃CN): λ_{\max} (lg ϵ) = 230 nm sh (3.669), 275 (4.123). — MS (100 eV, 80°C): m/z (%) = 220 (5), 218 (M $^+$, 6), 139 (68) 111 (100).

$\text{C}_6\text{H}_5\text{BrN}_2\text{O}_2$ (219.0) Ber. C 32.90 H 3.22 N 12.79
Gef. C 32.88 H 3.15 N 12.77

3-Amino-3-brom-2-cyanacrylsäure-(2,2,2-trichlorethyl)ester (2i): Aus 5.59 g (20 mmol) Kaliumsalz des Dicyanessigsäure-(2,2,2-trichlorethyl)esters in 10 ml Wasser und 20 ml 48proz. wässriger Bromwasserstoffsäure analog **2g**; 4.83 g (75%) **2i**, farblose Kristalle

(aus Chloroform), Schmp. 173°C. — IR (KBr): 3320 cm⁻¹, 3240, 3170 (NH₂), 2210 (CN), 1690 (CO). — ¹H-NMR (CDCl₃): δ = 4.86 (s, 2H, CH₂); 6.41 (s, 1H, NH); 9.48 (s, 1H, NH). — ¹³C-NMR ([D₆]Aceton): δ = 74.3 (t, CH₂); 77.0 (s, C-2); 96.0 (s, CCl₃); 117.0 (s, CN); 153.5 (s, C-3); 165.2 (s, C-1). — UV (CH₃CN): λ_{max} (lg ε) = 230 nm, sh (3.831), 275 (4.060). — MS (100 eV, 105°C): m/z (%) = 324 (11), 322 (17), 320 (M⁺, 9), 173 (100).

C₆H₄BrCl₃N₂O₂ (322.4) Ber. C 22.35 H 1.25 N 8.69
Gef. C 22.41 H 1.38 N 8.59

3-Amino-2-cyan-3-iodacrylsäure-methylester (2j): Eine Suspension von 3.24 g (20 mmol) Kaliumsalz des Dicyanessigsäure-methylesters in 10 ml Wasser wird mit 20 ml 57proz. Iodwasserstoffsäure versetzt. Nach 3–5 min wird die nach Auflösen der Ausgangsverbindung zuerst klare Lösung trüb, und das Produkt fällt allmählich aus. Die Reaktionsmischung wird bei Raumtemp. unter Lichtausschluß 10 h stehengelassen. Der Niederschlag wird danach abgesaugt, mit Wasser gewaschen und nach Trocknen aus Chloroform umkristallisiert: 3.83 g (76%) farbloses **2j**, Schmp. 167°C. — IR (KBr): 3300 cm⁻¹, 3160 (NH₂), 2220 (CN), 1690 (CO). — ¹H-NMR (CDCl₃): δ = 3.81 (s, 3H, CH₃); 6.13 (s, 1H, NH); 9.90 (s, 1H, NH). — ¹³C-NMR (CD₃CN): δ = 52.6 (q, CH₃); 84.3 (s, C-2); 121.4 (s, CN); 131.4 (s, C-3); 167.1 (s, C-1). — UV (CH₃CN): λ_{max} (lg ε) = 240 nm sh (3.864), 275 (4.033). — MS (100 eV, 100°C): m/z (%) = 252 (M⁺, 31), 221 ([M – OCH₃]⁺, 6), 125 (100).

C₅H₅N₂O₂ (252.0) Ber. C 23.83 H 2.00 N 11.12
Gef. C 23.88 H 2.04 N 10.98

3-Amino-2-cyan-3-iodacrylsäure-ethylester (2k): Aus 3.52 g (20 mmol) Kaliumsalz des Dicyanessigsäure-ethylesters in 10 ml Wasser und 20 ml 57proz. Iodwasserstoffsäure analog **2j**; 4.49 g (85%) **2k**, farblose Kristalle (aus Chloroform), Schmp. 170°C. — IR (KBr): 3320 cm⁻¹, 3170 (NH₂), 2210 (CN), 1680 (CO). — ¹H-NMR (CDCl₃): δ = 1.34 (t, 3H, CH₃); 4.26 (q, 2H, CH₂); 6.12 (s, 1H, NH); 9.92 (s, 1H, NH). — ¹³C-NMR (CD₃CN): δ = 14.6 (q, CH₃); 61.9 (t, CH₂); 84.5 (s, C-2); 121.4 (s, CN); 131.3 (s, C-3); 166.7 (s, C-1). — UV (CH₃CN): λ_{max} (lg ε) = 240 nm (3.905), 275 (3.991). — MS (100 eV, 80°C): m/z (%) = 266 (M⁺, 40), 221 ([M – OCH₂CH₃]⁺, 10), 111 (100).

C₆H₇IN₂O₂ (266.0) Ber. C 27.09 H 2.65 N 10.53
Gef. C 27.15 H 2.74 N 10.47

3-Amino-2-cyan-3-methoxyacrylsäure-methylester (3a)

Methode A: Eine Lösung von 6.20 g (50 mmol) Dicyanessigsäure-methylester in 50 ml Methanol wird 3 h unter Rückfluß erhitzt. Beim Abkühlen fällt das farblose kristalline **3a** aus. Das Produkt ist in den meisten Fällen analysenrein; es kann aus Methanol umkristallisiert werden. Ausb. 5.85 g (75%).

Methode B: Einer Lösung von 1.24 g (10 mmol) Dicyanessigsäure-methylester in 20 ml wasserfreiem Chloroform werden nacheinander 1.14 g (10 mmol) Bortrifluorid-Dimethylether und 0.32 g (10 mmol) Methanol zugegeben. Die Reaktionsmischung wird 48 h bei Raumtemp. gerührt und anschließend mit 20 ml Diethylether versetzt. Das ausgefallene Produkt wird abgesaugt und aus Acetonitril umkristallisiert. Ausb. 1.17 g (75%), Schmp. 211°C. — IR (KBr): 3300 cm⁻¹, 3175 (NH₂), 2220 (CN), 1680 (CO). — ¹H-NMR ([D₆]DSMO): δ = 3.61 (s, 3H, CO₂CH₃); 3.94 (s, 3H, OCH₃); 8.84 (s, 1H, NH); 9.08 (s, 1H, NH). — ¹³C-NMR ([D₆]DSMO): δ = 50.8 (q, CO₂CH₃); 56.5 (q, OCH₃); 57.2 (s, C-2); 117.4 (s, CN); 168.4 (s, C-1); 171.8 (s, C-3). — UV(CH₃CN): λ_{max} (lg ε) = 202 nm (4.070), 255 (4.260). — MS (100 eV, 85°C): m/z (%) = 156 (M⁺, 60), 125 ([M – ·OCH₃]⁺, 100), 97 (32).

C₆H₈N₂O₃ (156.1) Ber. C 46.15 H 5.16 N 17.94
Gef. C 46.10 H 4.89 N 17.94

3-Amino-2-cyan-3-ethoxyacrylsäure-ethylester (3b): Die Lösung von 6.90 g (50 mmol) Dicyanessigsäure-ethylester in 50 ml Ethanol wird 3 h unter Rückfluß erhitzt. Nach Abkühlen der Lösung wird das ausgefallene Produkt abgesaugt und aus Ethanol umkristallisiert; 6.81 g (74%) farbloses **3b**, Schmp. 141°C, (Lit.¹⁷) 141–142°C. — IR (KBr): 3300 cm⁻¹, 3160 (NH₂), 2210 (CN), 1670 (CO). — ¹H-NMR ([D₆]DSMO): δ = 1.22 (t, 3H, CO₂CH₂CH₃); 1.32 (t, 3H, OCH₂CH₃); 4.12 (q, 2H, CO₂CH₂); 4.28 (q, 2H, OCH₂); 8.80 (s, 1H, NH); 9.12 (s, 1H, NH). — UV (CH₃CN): λ_{max} (lg ε) = 202 nm (4.060), 255 (4.251). — MS (100 eV, 98°C): m/z (%) = 184 (M⁺, 28), 128 (100), 110 (54).

C₈H₁₂N₂O₃ (184.2) Ber. C 52.16 H 6.57 N 15.21
Gef. C 51.82 H 6.53 N 14.84

3-Amino-3-butoxy-2-cyanacrylsäure-methylester (3c) und 3-Amino-3-butoxy-2-cyanacrylsäure-butylester 4a: 1.24 g (10 mmol) Dicyanessigsäure-methylester in 10 ml n-Butanol werden 5 h unter Rückfluß erhitzt. Das überschüssige n-Butanol wird i. Vak. abdestilliert und der Rest durch SC (Kieselgel; Diethylether) getrennt; 0.48 g (24%) farbloses **3c**, Schmp. 133°C (aus Diethylether/Chloroform 5:1), und 0.41 g (17%) farbloses **4a**, Schmp. 103°C (aus Diethylether/Chloroform 5:1).

3c: IR (KBr): 3300 cm⁻¹, 3180 (NH₂), 2215 (CN), 1670 (CO). — ¹H-NMR (CDCl₃): δ = 0.98 (t, 3H, CH₃); 1.52 (sext, 2H, CH₂CH₃); 1.82 (quint, 2H, OCH₂CH₂); 3.77 (s, 3H, OCH₃); 4.18 (t, 2H, OCH₂); 5.90 (s, 1H, NH); 9.35 (s, 1H, NH). — ¹³C-NMR (CDCl₃): δ = 13.6 (q, CH₃); 18.8 (t, OCH₂CH₃); 30.4 (t, OCH₂CH₂); 51.5 (q, OCH₃); 59.4 (s, C-2); 69.1 (t, OCH₂); 117.9 (s, CN); 169.5 (s, C-1); 172.0 (s, C-3). — UV (CH₃CN): λ_{max} (lg ε) = 202 nm (4.036), 255 (4.286). — MS (100 eV, 60°C): m/z (%) = 198 (M⁺, 20), 142 (100).

C₉H₁₄N₂O₃ (198.2) Ber. C 54.53 H 7.12 N 14.13
Gef. C 54.42 H 7.18 N 13.85

4a: IR (KBr): 3210 cm⁻¹, 3180 (NH₂), 2210 (CN), 1670 (CO). — ¹H-NMR (CDCl₃): δ = 0.98 (t, 3H, CH₃); 1.42 (sext, 2H, CH₂CH₃); 1.51 (sext, H, CH₂CH₃); 1.66 (quint, 2H, OCH₂CH₂); 1.81 (quint, 2H, OCH₂CH₂); 4.17 (t, 2H, OCH₂); 4.19 (t, 2H, OCH₂); 6.18 (s, 1H, NH); 9.40 (s, 1H, NH). — ¹³C-NMR (CDCl₃): δ = 13.6, 13.7 (q, CH₃); 18.8, 19.1 (t, CH₂CH₃); 30.4, 30.9 (t, OCH₂CH₂); 59.7 (s, C-2); 64.2, 68.9 (t, OCH₂); 117.7 (s, CN); 169.2 (s, C-1); 171.9 (s, C-3). — UV (CH₃CN): λ_{max} (lg ε) = 202 nm (4.056), 255 (4.313). — MS (100 eV, 70°C): m/z (%) = 240 (M⁺, 14), 129 (67), 128 (100).

C₁₂H₂₀N₂O₃ (240.3) Ber. C 59.98 H 8.39 N 11.66
Gef. C 60.07 H 8.39 N 11.60

3-Amino-3-(butylthio)-2-cyanacrylsäure-methylester (3j) und 3-Amino-3-(butylthio)-2-cyanthioacrylsäure-S-butylester (4b): 1.24 g (10 mmol) Dicyanessigsäure-methylester und 10 ml 1-Butanthiol werden 5 h unter Rückfluß erhitzt, und nach Abdestillieren des überschüssigen Thiols wird der Rest durch SC (Kieselgel; Diethylether/n-Hexan 5:1) getrennt; 0.49 g (23%) farbloses **3j**, Schmp. 81°C (aus Diethylether), und 0.82 g (30%) farbloses **4b**, Schmp. 93°C (aus Diethylether).

3j: IR (KBr): 3380 cm⁻¹, 3250, 3200 (NH₂), 2200 (CN), 1690 (CO). — ¹H-NMR (CDCl₃): δ = 0.98 (t, 3H, CH₃); 1.52 (sext, 2H, CH₂CH₃); 1.72 (quint, 2H, SCH₂CH₂); 2.98 (t, 2H, SCH₂); 3.78 (s, 3H, OCH₃); 5.90 (s, 1H, NH); 9.73 (s, 1H, NH). — ¹³C-NMR (CDCl₃): δ = 13.5 (q, CH₃); 21.8 (t, CH₂CH₃); 30.2 (t, SCH₂, SCH₂CH₂); 51.6 (q, OCH₃); 71.2 (s, C-2); 117.7 (s, CN); 167.7 (s, C-1); 172.5 (s, C-3). — UV (CH₃CN): λ_{max} (lg ε) = 202 nm (4.132); 285 (4.325). — MS (100 eV, 80°C): m/z (%) = 214 (M⁺, 57), 159 (22), 158 (100).

C₉H₁₄N₂O₂S (214.3) Ber. C 50.45 H 6.58 N 13.07
Gef. C 50.49 H 6.52 N 12.87

4b: IR (KBr): 3370 cm⁻¹, 3160 (NH₂), 2200 (CN), 1590 (CO). — ¹H-NMR (CDCl₃): δ = 0.93 (t, 3H, CH₃); 0.98 (t, 3H, CH₃); 1.37–1.81 (m, 8H, 4CH₂); 2.94 (t, 2H, SCH₂); 2.98 (t, 2H, SCH₂); 5.98 (s, 1H, NH); 10.38 (s, 1H, NH). — ¹³C-NMR (CDCl₃): δ = 13.5, 13.6 (q, CH₃); 21.9, 22.0 (t, CH₂CH₃); 28.7, 30.0, 30.1, 31.8 (t, 2SCH₂CH₂); 81.8 (s, C-2); 117.9 (s, CN); 170.8 (s, C-3); 187.5 (s, C-1). — UV (CH₃CN): λ_{max} (lg ε) = 222 nm (4.059); 310 (4.473). — MS (100 eV, 125°C): m/z (%) = 272 (M⁺, 15), 183 ([M – SC₄H₉]⁺, 100).

C₁₂H₂₀N₂OS₂ (272.4) Ber. C 52.91 H 7.40 N 10.28
Gef. C 52.99 H 7.45 N 10.24

3-Amino-2-cyan-3-(phenylthio)acrylsäure-methylester (3k) und 3-Amino-2-cyan-3-(phenylthio)thioacrylsäure-S-phenylester (4c): Eine Mischung von 1.24 g (10 mmol) Dicyanessigsäure-methylester und 10 ml Thiophenol wird 12 h unter Rückfluß erhitzt. Danach wird das Thiophenol i. Vak. abdestilliert und der Rückstand durch SC (Kieselgel; Dichlormethan) getrennt; 0.40 g (17%) farbloses 3k, Schmp. 134°C (aus Ethanol/n-Hexan 1:1) und 0.31 g (10%) farbloses 4c, Schmp. 167°C (aus Ethanol/Wasser 4:1).

3k: IR (KBr): 3400 cm⁻¹, 3370, 3240 (NH₂), 2210 (CN), 1690 (CO). — ¹H-NMR (CDCl₃): δ = 3.78 (s, 3H, CH₃); 5.22 (s, 1H, NH); 7.52–7.70 (m, 5H, H-aromat.); 9.54 (s, 1H, NH). — ¹³C-NMR (CDCl₃): δ = 51.7 (q, CH₃); 70.4 (s, C-2); 116.9 (s, CN); 123.7 (s, C-aromat.); 130.8, 132.0, 136.7 (d, C-aromat.); 167.6 (s, C-1); 171.5 (s, C-3). — UV (CH₃CN): λ_{max} (lg ε) = 285 nm (4.339). — MS (100 eV, 110°C): m/z (%) = 234 (M⁺, 42), 125 ([M – SPh]⁺, 12), 110 (100).

C₁₁H₁₀N₂O₂S (234.3) Ber. C 56.39 H 4.30 N 11.96
Gef. C 56.03 H 4.29 N 11.78

4c: IR (KBr): 3410 cm⁻¹, 3240, 3200 (NH₂), 2200 (CN), 1590 (CO). — ¹H-NMR (CDCl₃): δ = 5.35 (s, 1H, NH); 7.41–7.52 (m, 5H, H-aromat.); 7.53–7.69 (m, 5H, H-aromat.); 10.02 (s, 1H, NH). — ¹³C-NMR (CDCl₃): δ = 80.0 (s, C-2); 116.8 (s, CN); 123.1, 127.5 (s, C-aromat.); 129.2, 129.6, 131.0, 131.3, 135.5, 136.7 (d, C-aromat.). — UV (CH₃CN): λ_{max} (lg ε) = 212 nm sh (4.440), 310 (4.551). — MS (100 eV, 160°C): m/z (%) = 312 (M⁺, 3), 203 ([M – SPh]⁺, 100).

C₁₆H₁₂N₂OS₂ (312.4) Ber. C 61.51 H 3.87 N 8.97
Gef. C 61.05 H 3.94 N 8.81

3-Amino-2-cyan-3-ethoxyacrylsäure-methylester (3d): Aus 1.24 g (10 mmol) Dicyanessigsäure-methylester, 0.46 g (10 mmol) Ethanol und 1.14 g (10 mmol) Bortrifluorid-Dimethylether in 20 ml wasserfreiem Chloroform analog 3a (Methode B); 1.39 g (82%) farblose Kristalle, Schmp. 169°C (aus Acetonitril). — IR (KBr): 3300 cm⁻¹, 3180 (NH₂), 2210 (CN), 1670 (CO). — ¹H-NMR ([D₆]DMSO): δ = 1.32 (t, 3H, CH₃); 3.63 (s, 3H, OCH₃); 4.28 (q, 2H, OCH₂); 8.81 (s, 1H, NH); 9.04 (s, 1H, NH). — ¹³C-NMR ([D₆]DMSO): δ = 13.9 (q, CH₃); 50.8 (q, OCH₃); 57.4 (s, C-2); 65.3 (t, CH₂); 117.3 (s, CN); 168.5 (s, C-1); 171.0 (s, C-3). — UV (CH₃CN): λ_{max} (lg ε) = 202 nm (4.034), 255 (4.278). — MS (100 eV, 130°C): m/z (%) = 170 (M⁺, 40), 142 (100), 111 (39).

C₇H₁₀N₂O₂ (170.2) Ber. C 49.41 H 5.92 N 16.46
Gef. C 49.31 H 5.94 N 16.48

3-Amino-2-cyan-3-methoxyacrylsäure-ethylester (3e): Aus 1.38 g (10 mmol) Dicyanessigsäure-ethylester, 0.32 g (10 mmol) Methanol und 1.14 g (10 mmol) Bortrifluorid-Dimethylether in 20 ml wasserfreiem Chloroform analog 3a (Methode B); 1.51 g (89%) farblose Kristalle, Schmp. 208°C. — IR (KBr): 3320 cm⁻¹, 3200 (NH₂); 2220 (CN), 1660 (CO). — ¹H-NMR ([D₆]DMSO): δ = 1.27 (t, 3H, CH₃); 4.00 (s, 3H, OCH₃); 4.18 (q, 2H, CH₂); 8.90 (s, 1H, NH); 9.18 (s, 1H, NH). — UV (CH₃CN): λ_{max} (lg ε) = 202 nm (4.059), 255

(4.276). — MS (100 eV, 100°C): m/z (%) = 170 (M⁺, 58), 125 ([M – OCH₂CH₃]⁺, 100).

C₇H₁₀N₂O₃ (170.2) Ber. C 49.41 H 5.92 N 16.46
Gef. C 49.50 H 5.90 N 16.19

3-Amino-2-cyan-3-phenoxyacrylsäure-methylester (3f): Aus 1.24 g (10 mmol) Dicyanessigsäure-methylester, 0.94 g (10 mmol) Phenol und 1.14 g (10 mmol) Bortrifluorid-Dimethylether in 10 ml wasserfreiem Chloroform analog 3a (Methode B). Nach 48 h Röhren bei Raumtemp. wird die Reaktionslösung im Rotationsverdampfer eingeengt und der Rückstand mit 40 ml Wasser sowie 40 ml Dimethylether versetzt. Nach Extraktion wird die organische Phase abgetrennt, mit MgSO₄ getrocknet und filtriert. Nach Abdestillieren des Lösungsmittels wird das ölige Rohprodukt durch SC (Kieselgel, Dimethylether) gereinigt; 1.09 g (50%) 3f, farblose Kristalle, Schmp. 116°C (aus Ethanol). — IR (KBr): 3340 cm⁻¹, 3200 (NH₂), 2220 (CN), 1675 (CO). — ¹H-NMR ([D₆]DMSO): δ = 3.76 (s, 3H, CH₃); 7.32 (d, 2H, H-aromat.); 7.41 (dd, 1H, H-aromat.); 7.56 (dd, 2H, H-aromat.); 8.76 (s, 1H, NH); 9.04 (s, 1H, NH). — ¹³C-NMR (CDCl₃): δ = 51.5 (q, CH₃); 61.6 (s, C-2); 116.1 (s, CN); 121.4 (d, C-aromat.); 127.9 (d, C-aromat.); 130.8 (d, C-aromat.); 149.4 (s, C-aromat.); 169.1 (s, C-1); 170.8 (s, C-3). — UV (CH₃CN): λ_{max} (lg ε) = 200 nm (4.217), 260 (4.349). — MS (100 eV, 100°C): m/z (%) = 218 (M⁺, 26), 94 (100).

C₁₁H₁₀N₂O₃ (218.2) Ber. C 60.55 H 4.62 N 12.84
Gef. C 60.72 H 4.68 N 12.76

3-Amino-2-cyan-3-methoxyacrylsäure-benzylester (3g): Aus 2.00 g (10 mmol) Dicyanessigsäure-benzylester, 0.32 g (10 mmol) Methanol und 1.14 g (10 mmol) Bortrifluorid-Dimethylether in 10 ml wasserfreiem Chloroform analog 3a (Methode B); 1.86 g (80%) farblose Kristalle, Schmp. 158°C (aus Acetonitril). — IR (KBr): 3350 cm⁻¹, 3200 (NH₂), 2210 (CN), 1660 (CO). — ¹H-NMR ([D₆]DMSO): δ = 3.94 (s, 3H, CH₃); 5.15 (s, 2H, CH₂); 7.36 (m, 5H, H-aromat.); 8.90 (s, 1H, NH); 9.08 (s, 1H, NH). — ¹³C-NMR ([D₆]DMSO): δ = 56.6 (q, CH₃); 57.3 (s, C-2); 64.5 (t, CH₂); 117.2 (s, CN); 127.4, 127.7, 128.3 (d, C-aromat.); 136.7 (s, C-aromat.); 167.8 (s, C-1); 171.8 (s, C-3). — UV (CH₃CN): λ_{max} (lg ε) = 200 nm (4.273), 255 (4.329). — MS (100 eV, 130°C): m/z (%) = 232 (M⁺, 12), 125 ([M – OCH₂C₆H₅]⁺, 3), 91 (100).

C₁₂H₁₂N₂O₃ (232.2) Ber. C 62.06 H 5.21 N 12.06
Gef. C 62.23 H 5.34 N 11.73

3-Amino-3-(2-chlorethoxy)-2-cyanacrylsäure-methylester (3h): Aus 1.24 g (10 mmol) Dicyanessigsäure-methylester, 0.81 g (10 mmol) 2-Chlorethanol und 1.14 g (10 mmol) Bortrifluorid-Dimethylether in 10 ml wasserfreiem Chloroform analog 3a (Methode B); 1.29 g (63%) farblose Kristalle, Schmp. 137°C (aus Acetonitril). — IR (KBr): 3360 cm⁻¹, 3205 (NH₂), 2200 (CN), 1680 (CO). — ¹H-NMR ([D₆]DMSO): δ = 3.64 (s, 3H, CH₃); 3.94 (t, 2H, CH₂Cl); 4.51 (t, 2H, OCH₂); 8.92 (s, 1H, NH); 9.08 (s, 1H, NH). — ¹³C-NMR ([D₆]DMSO): δ = 41.8 (t, CH₂Cl); 50.9 (q, CH₃); 57.8 (s, C-2); 69.2 (t, OCH₂); 116.9 (s, CN); 168.4 (s, C-1); 170.8 (s, C-3). — UV (CH₃CN): λ_{max} (lg ε) = 202 nm (4.101), 275 (4.336). — MS (100 eV, 120°C): m/z (%) = 206 (10), 204 (M⁺, 32), 142 (51), 63 (100).

C₇H₉ClN₂O₃ (204.6) Ber. C 41.09 H 4.43 N 13.69
Gef. C 41.29 H 4.46 N 13.78

3-Amino-2-cyan-3-(ethylthio)acrylsäuremethylester (3l): Eine Lösung von 1.24 g (10 mmol) Dicyanessigsäure-methylester in 10 ml wasserfreiem Chloroform wird mit 1.14 g (10 mmol) Bortrifluorid-Dimethylether und anschließend mit 0.62 g (10 mmol) Ethanethiol versetzt. Die Reaktionsmischung wird 6 d bei Raumtemp. gerührt. Nach Entfernen des Lösungsmittels werden 6 ml Methanol

zugegeben, wobei das Produkt ausfällt. Nach Abkühlen wird es abgesaugt und aus Ethanol umkristallisiert; 0.61 g (33%) **3l**, gelbe Kristalle, Schmp. 153 °C. — IR (KBr): 3380 cm⁻¹, 3240, 3190 (NH₂), 2200 (CN), 1675 (CO). — ¹H-NMR ([D₆]DMSO): δ = 1.28 (t, 3H, CH₃); 3.16 (q, 2H, SCH₂); 3.66 (s, 3H, OCH₃); 8.61 (s, 1H, NH); 9.48 (s, 1H, NH). — ¹³C-NMR ([D₆]DMSO): δ = 13.6 (q, CH₃); 24.1 (t, CH₂); 51.1 (q, OCH₃); 68.4 (s, C-2); 117.5 (s, CN); 166.8 (s, C-1); 171.8 (s, C-3). — UV (CH₃CN): λ_{max} (lg ε) = 202 nm (4.079), 286 (4.312). — MS (100 eV, 105 °C): m/z (%) = 186 (M⁺, 100); 125 ([M - SCH₂CH₃]⁺, 49).

C₇H₁₀N₂O₂S (186.2) Ber. C 45.15 H 5.41 N 15.04
Gef. C 45.07 H 5.21 N 14.99

CAS-Registry-Nummern

1 (R = Me): 2040-70-2 / **1** (R = Et): 74908-84-2 / **1** (R = CH₂Cl₃): 114907-99-2 / **1a**: 114907-94-7 / **1b**: 74908-86-4 / **1c**: 114907-95-8 / **1d**: 114907-96-9 / **1e**: 114907-97-0 / **1f**: 114907-98-1 / **2a**: 114907-71-0 / **2b**: 114907-72-1 / **2c**: 114907-73-2 / **2d**: 114907-74-3 / **2e**: 114907-75-4 / **2f**: 114907-76-5 / **2g**: 114907-77-6 / **2h**: 114907-78-7 / **2i**: 114929-03-2 / **2j**: 114907-79-8 / **2k**: 114907-80-1 / **3a**: 114907-81-2 / **3b**: 114907-82-3 / **3c**: 114907-83-4 / **3d**: 114908-00-8 / **3e**: 114907-89-0 / **3f**: 114907-90-3 / **3g**: 114907-91-4 / **3h**: 114907-92-5 / **3i**: 114907-93-6 / **3j**: 114907-84-5 / **3k**: 114907-85-6 / **4a**: 114907-86-7 / **4b**: 114907-87-8 / **4c**: 114907-88-9 / HCl: 7647-01-0 / HBr: 10035-10-6 / HI: 10034-85-2 / MeOH: 67-56-1 / EtOH: 64-17-5 / BuOH: 71-36-3 / BuSH: 109-79-5 / PhSH: 108-98-5 / PhOH: 108-95-2 / Cl(CH₂)₂OH: 107-07-3 / EtSH: 75-08-1

- ¹⁾ D. Kikelj, Dissertation, Univ. Heidelberg, 1988.
- ²⁾ B. C. Hesse, *J. Am. Chem. Soc.* **18** (1896) 723.
- ³⁾ F. Arnd, H. Scholz, E. Frobel, *Liebigs Ann. Chem.* **521** (1936) 723.
- ⁴⁾ Fisons Limited (P. N. Judson, C. R. H. White, Inv.), Europ. Pat. 10, 396 (April 30, 1980) [*Chem. Abstr.* **93** (1980) P 144701x].
- ⁵⁾ J. A. Elvidge, P. N. Judson, A. Percival, R. Shah, *J. Chem. Soc., Perkin Trans 1* **1983**, 1741.
- ⁶⁾ Agfa Gevaert AG (G. Hoffarth, W. Richter, J. Goosens, W. Podszun, C. Sueling, H. J. Buysch, K. Walz, Inv.), D.B.P. 3426197 (Januar 23, 1986) [*Chem. Abstr.* **105** (1986) P 24767t].
- ⁷⁾ Agfa Gevaert AG (G. Hoffarth, W. Richter, J. Goosens, W. Podszun, C. Sueling, H. J. Buysch, K. Walz, Inv.), D.B.P. 3426256 (Januar 23, 1986) [*Chem. Abstr.* **105** (1986) P 70111x].
- ⁸⁾ Agfa Gevaert AG (G. Hoffarth, W. Richter, J. Goosens, W. Podszun, C. Sueling, H. J. Buysch, K. Walz, Inv.), D.B.P. 3426198 (Januar 23, 1986) [*Chem. Abstr.* **105** (1986) P 105742h].
- ⁹⁾ A. Dornow, H. Grabhoffer, *Chem. Ber.* **91** (1958) 1824.
- ¹⁰⁾ W. J. Middleton, E. L. Little, D. Coffman, V. A. Engelhardt, *J. Am. Chem. Soc.* **80** (1958) 2795.
- ¹¹⁾ R. Schenk, H. Finken, *Liebigs Ann. Chem.* **462** (1928) 158.
- ¹²⁾ D. Martin, S. Rackow, *Chem. Ber.* **98** (1965) 3662.
- ¹³⁾ Bayer AG (E. Grigat, R. Pütter, E. Mühlbauer, Inv.), D.B.P. 1215153 (November 3, 1966) [*Chem. Abstr.* **65** (1966) P 7112d].
- ¹⁴⁾ E. Grigat, R. Pütter, E. Mühlbauer, *Chem. Ber.* **98** (1965) 3777.
- ¹⁵⁾ W. J. Middleton, V. A. Engelhardt, *J. Am. Chem. Soc.* **80** (1958) 2788.
- ¹⁶⁾ E. Allenstein, P. Quis, *Chem. Ber.* **96** (1963) 1035.
- ¹⁷⁾ D. Martin, K. H. Schwarz, S. Rackow, P. Reich, E. Gründemann, *Chem. Ber.* **99** (1966) 2302.
- ¹⁸⁾ R. Neidlein, W. Kramer, D. Kikelj, M. Spraul, *Chem. Ber.*, im Druck, sowie Lit.¹⁾.

[90/88]